

مجله علمی - پژوهشی

مهندسی عمران مدرس

دوره بیست و دوم، شماره ۴، سال ۱۴۰۱

# یک مدل بزرگ مقیاس خرپایی برای تحلیل غیرخطی دیوارهای بنایی

عطیه محبی امیرحسینی<sup>۱</sup>، مسعود سلطانی محمدی<sup>۲\*</sup>

۱- کارشناس ارشد سازه، دانشگاه تربیت مدرس

۲- استاد دانشکده مهندسی عمران و محیط زیست، دانشگاه تربیت مدرس

[msoltani@modares.ac.ir](mailto:msoltani@modares.ac.ir)

تاریخ دریافت: ۱۴۰۰/۱۰/۲۶ تاریخ پذیرش: ۱۴۰۱/۰۳/۲۵

## چکیده

در این تحقیق یک مدل بزرگ مقیاس خرپایی برای شبیه‌سازی رفتار درون صفحه دیوارهای بنایی در مودهای خرابی مختلف معرفی می‌شود. در مدل پیشنهادی، اعضاء سازه‌ای بنایی به پانل‌های دو بعدی کوچکتر تقسیم شده سپس برای مدل‌سازی هر پانل، از یک سیستم خرپایی استفاده می‌شود. چگونگی تعیین مشخصات مربوط به هندسه، ابعاد و مدل رفتاری این المان‌های خرپایی با توجه به سازوکار رفتاری و مودهای خرابی داخل صفحه دیوارهای بنایی معرفی می‌شوند، سپس نتایج حاصل از استفاده از مدل پیشنهادی و روابط پیشنهادی آینین نامه ASCE41 در مودهای خرابی مختلف مورد ارزیابی و مقایسه قرار می‌گیرد. همچنین به منظور درستی آزمایی، دو نمونه دیوار محصور شده توسط دو لبه، سه نمونه دیوار با مقطع مستطیلی و یک نمونه دیوار قوسی با استفاده از مدل پیشنهادی مدل‌سازی شده و نتایج تحلیل عددی و آزمایشگاهی بررسی می‌شود. نتایج بدست آمده نشان دهنده آن است که مدل پیشنهادی در عین سادگی، قابلیت مناسبی در تخمین رفتار داخل صفحه دیوارهای بنایی دارد.

**واژگان کلیدی:** دیوار بنایی، غیرخطی، خرابی داخل صفحه، مدل‌سازی، درشت‌مقیاس.

## ۱- مقدمه

یکدیگر و اندرکنش آن‌ها است که موجب دشوار شدن پیش‌بینی رفتار آن‌ها می‌شود. شبیه‌سازی شکست‌های رایج دیوارهای بنایی تحت بارهای داخل صفحه از جمله خرابی‌های خمشی، لغزش ملات و شکست قطری نیارمند توسعه مدل‌های رفتاری غیرخطی و ابزارهای مناسب محاسباتی است که در این تحقیق به عنوان هدف اصلی مورد توجه قرار گرفته است.

به دلیل دوام بالا، معماری زیبا، هزینه نگهداری پایین، در دسترس بودن مصالح و همچنین سهولت اجرا، در بسیاری از ساختمان‌های موجود و سازه‌های تاریخی از مصالح بنایی استفاده شده است. دیوارهای بنایی رفتار خیلی پیچیده‌ای در محدوده غیرخطی از خود نشان می‌دهند چون رفتار آن‌ها وابسته به سازوکار زیادی از جمله لغزش، جدایی واحدهای بنایی از

نرم‌افزار TaRa که در دانشگاه تربیت مدرس توسعه یافته، استفاده شده است. به منظور درستی آزمایی مدل پیشنهادی، نتایج حاصل از نرم‌افزار با نتایج آزمایشگاهی دیوارهای بنایی تحت بارهای داخل صفحه مورد مقایسه قرار می‌گیرند. همچنین به منظور بررسی مودهای خرابی و کارایی و دقت مدل‌سازی پیشنهادی، مطالعه پارامتریک روی نمونه‌های مختلف با مودهای خرابی مشخص صورت می‌گیرد.

## ۱-۱ معرفی نرم‌افزار TaRa

نرم‌افزار TaRa یک نرم‌افزار محاسباتی بر مبنای المان فایبر است که در سالیان گذشته در دانشگاه تربیت مدرس و به سرپرستی نویسنده دوم این مقاله توسعه یافته است. نرم‌افزار مذکور علاوه بر قابلیت مدل‌سازی انواع سیستم‌های قابی بتن مسلح یک بارهای مانا، چرخه‌ای و دینامیکی، قادر به مدل‌سازی رفتار سازه‌ها در تغییرشکل‌های بزرگ، خرابی پیشرونده و حذف المان، ریزش آوار و همچنین اثرات محیطی، خرزش و جمع‌شدگی بتن و پیش آسیب‌دیدگی است. قابلیت، دقت و اعتبار برنامه در شبیه‌سازی رفتار سازه‌ای بتن مسلح در تحقیقات پیشین نشان داده شده است. در این تحقیق از این نرم‌افزار برای توسعه روش خربایی در مدل‌سازی رفتار داخل صفحه سازه‌های بنایی، استفاده می‌شود.

### ۱-۱-۱ مدل‌سازی دیوارهای بنایی

مطابق شکل (۱) اعضاء سازه‌ای مانند دیوارهای بنایی، قوس‌ها و ... را می‌توان به پانل‌های دو بعدی کوچکتر تقسیم کرد. به طوری که اگر رفتار هر یک از پانل‌ها به خوبی با المان‌های مورد نظر شبیه‌سازی شود، می‌توان به مدل‌سازی درستی از دیوار دست یافت و رفتار دیوار را پیش‌بینی کرد.

به طور کلی روش‌های مدل‌سازی دیوارهای بنایی را می‌توان به دو دسته کلی درشت‌مقیاس و ریز‌مقیاس تقسیم نمود. با وجود دقت بالای روش ریز‌مقیاس، به دلیل زیاد بودن تعداد درجات آزادی مدل، زمان زیادی برای انجام عملیات تحلیل نیاز است. بنابراین برای رفع این مشکل، روش‌های مدل‌سازی درشت-مقیاس برای تحلیل ساختمان‌های بنایی معرفی شده‌اند. در این روش زمان محاسبات به شدت کاهش می‌یابد و به همین دلیل مورد توجه مهندسان قرار گرفته است. با این وجود نقطه ضعف این روش مدل‌سازی، عدم توانایی تشخیص همه رفتارهای موضعی و مودهای خرابی است. بنابراین ارائه مدل مناسب برای مدل‌سازی غیرخطی دیوارهای بنایی که ضعف‌های بیان شده را جبران کند، ضروری می‌باشد.

لو<sup>۱</sup> و پانگیوتو<sup>۲</sup> برای مدل‌سازی دیوارهای بتن مسلح یک مدل درشت‌مقیاس با استفاده از المان‌های تیر و خربای ارائه کرده‌اند [۱]. این روش مدل‌سازی به صورت درشت‌مقیاس و دارای حجم محاسباتی کم بوده و کارایی خوبی در شبیه‌سازی رفتار سازه‌های بتن مسلح نشان داده است. در این مدل در هر دو جهت افقی و قائم از تیر برآنولی و برای المان‌های مورب از المان‌های خربای استفاده شده است. آقابابایی با بهره‌گیری از این روش و استفاده از المان‌های فایبر و خربای با مدل‌های رفتاری مبتنی بر روش ترک‌پخشی به این نتیجه رسید که عملکرد و دقت این روش برای تحلیل غیرخطی دیوارهای بتن مسلح تحت بارهای یکنوا و چرخشی دیوارهای بتن مسلح مناسب است [۲]. با توجه به مدل پیشنهادی ایشان، به نظر می‌آید که این روش پتانسیل توسعه برای ساختمان‌های بنایی را نیز داشته باشد. این موضوع هدف این پژوهش قرار گرفته و سعی بر آن است که با استفاده از مجموعه المان‌های خربایی و مدل‌های رفتاری مناسب برای اعضای بنایی، روش مذکور مورد توسعه قرار گیرد و قابلیت آن برای شبیه‌سازی مودهای مختلف ساختمان‌های بنایی بررسی شود.

در این تحقیق با استفاده از یک سیستم خربایی، یک مدل درشت‌مقیاس با هدف شبیه‌سازی رفتار درون صفحه دیوارهای بنایی در مودهای خرابی مختلف معرفی می‌شود. بدین منظور از

شکل ۳. مدل بزرگ مقیاس برای مدل‌سازی پانل تحت برش خالص

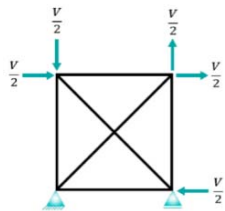


Fig. 3. Macro-scale model under pure shear

$$b_{eff} = \frac{h}{4 \times (1+\theta) \times \sin^2(\theta) \times \cos(\theta)} \quad (2)$$

که در این رابطه  $h$  ارتفاع پانل،  $b_{eff}$  عرض مؤثر المان مورب،  $\theta$  ضریب پواسون و  $\theta$  زاویه المان مورب نسبت به افق است.

### ۱-۱-۲- عرض مؤثر المان‌های قائم و افقی

با در نظر گیری رفتار تکمحوره و با فرض اینکه پانل مورد نظر تنها تحت تنش کششی یا فشاری قرار می‌گیرد، سختی محوری آن در محدوده خطی برابر  $\frac{A \times E}{L}$  خواهد بود [2].

به منظور تعیین سختی المان‌های قائم و المان‌های افقی که به ترتیب تحت تنش  $\sigma_y$  و  $\sigma_x$  خالص قرار دارند، نیروی معادل مطابق شکل (4) به صورت گرهی به مدل بزرگ مقیاس اعمال می‌شود. بنابراین در نهایت رابطه عرض مؤثر المان‌های قائم و افقی به ترتیب بر اساس روابط (۳) و (۴) در پانل مورد نظر به دست می‌آید.

شکل ۴. مدل بزرگ مقیاس: (الف) پانل تحت تنش قائم خالص در راستای قائم و (ب) پانل تحت کشش خالص در راستای افقی

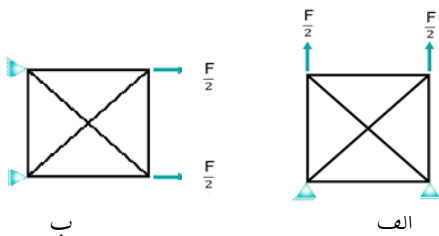


Fig. 4. Macro-scale model: a) panel under axial tension in the vertical direction and b) panel under axial tension in the horizontal direction

$$b_{effv} = \frac{h}{2 \times \tan(\theta)} - b_{eff} \times \sin^3(\theta) \quad (3)$$

$$b_{effh} = \frac{h}{2} - b_{eff} \cos^3(\theta) \quad (4)$$

شکل ۱. بررسی رفتار درون صفحه‌ای در مقیاس المان‌ها برای سازه‌های بنایی

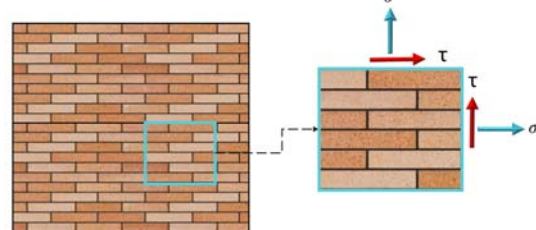


Fig. 1. In-plane behavior of masonry at the scale of elements

مطابق شکل (۲) در این تحقیق برای مدل‌سازی هر یک از پانل‌های نمایش داده شده در شکل (۱) از یک سیستم خرپایی شامل دو المان قائم، دو المان افقی و دو المان مورب استفاده می‌شود. ابعاد اولیه این اعضاء در گام نخست باید به گونه‌ای تعیین شوند که سختی مدل خرپایی با سختی پانل اولیه، تحت بارگذاری‌های مختلف یکسان باشد. در این خصوص از شیوه محاسباتی معرفی شده توسط آقابابایی استفاده می‌شود [2].

شکل ۲. سیستم خرپایی معادل یک پانل بنایی

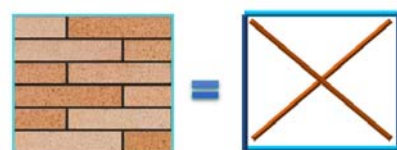


Fig. 2. Truss system equivalent to a masonry panel

### ۱-۱-۱-۱- عرض مؤثر المان‌های مورب

با توجه به اینکه سختی برشی مدل خرپایی ناشی از المان‌های مورب است. با یکسان‌سازی سختی پانل بنایی با مدل خرپایی می‌توان عرض المان مورب را تعیین نمود. اگر پانل مورد نظر تحت برش خالص مطابق قرار گیرد، تنش برشی در محدوده خطی بر اساس رابطه (۱) به دست می‌آید.

$$\tau = G \times \gamma \quad (1)$$

که در این رابطه  $G$  مدول برشی،  $\tau$  تنش برشی،  $\gamma$  کرنش برشی است.

چون المان‌های مورب استفاده به صورت خرپایی هستند، نیروها باید طبق شکل (۳) به گره‌ها وارد شوند. بنابراین با تبدیل تنش‌های برشی به نیروهای گرهی، رابطه‌ی عرض مؤثر المان‌های مورب در پانل مورد نظر به دست می‌آید [2].

در این مدل  $\epsilon_m$  کرنش ماکریم و  $\epsilon_p$  معادل کرنشی است که تنش متناظر آن به صفر بر می‌گردد (کرنش پلاستیک) و بر اساس رابطه‌ی (۶) محاسبه می‌شود.

$$\epsilon_p = \epsilon - \frac{20}{7} \epsilon_m (1 - e^{-0.35 \frac{\epsilon}{\epsilon_m}}) \quad (6)$$

طبق شکل (۶)،  $k$  پارامتر شکست است که روند کاهش شب مسیر بارگذاری مجدد را در طول فرایند بارگذاری تناوبی نشان می‌دهد و مطابق رابطه (۷) قابل محاسبه است.

$$k = e^{-0.73 \frac{\epsilon}{\epsilon_m} \left[ 1 - e^{-1.25 \frac{\epsilon}{\epsilon_m}} \right]} \quad (7)$$

به صورت کلی وقتی نمونه تحت بارگذاری قرار می‌گیرد، المان‌های کششی ترک خورده و مقاومتشان به شدت افت می‌کند. در واقعیت رفتار فشاری در یک راستا وابسته به کرنش کششی است که در راستای عمود بر امتداد بار فشاری اعمال می‌شود. مطابق شکل (۷) مقاومت فشاری پس از ایجاد ترک‌های کششی به شدت کاهش می‌یابد. این بدین معناست که اثر ترک خورده‌گی باید به شکل مناسب در رفتار فشاری بنایی منظور شود. چگونگی اعمال این اثر در مدل پیشنهادی در بندهای بعد بیان خواهد شد.

شکل ۷. تأثیر ترک بر رفتار فشاری اعضای

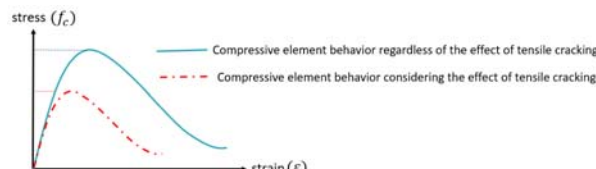


Fig. 7. Effect of cracking on compressive behavior

## ۲-۱-۲ المان‌های کششی

رفتار بنایی در کشش تا قبل از زمان شروع ترک به صورت خطی عمل می‌کند و پس از آن مطابق شکل (۸) رفتار نرم‌شونده دارد. مائکاوا<sup>۱</sup> و همکاران [۴] برای بیان رفتار پس از ترک خورده‌گی، رابطه (۸) را معرفی کردند، که در این تحقیق از آن استفاده شده است.

یک مدل بزرگ مقیاس خربایی برای تحلیل غیرخطی دیوارهای بنایی که در این روابطه  $h$  ارتفاع پانل،  $b_{eff}$  عرض مؤثر المان مورب،  $b_{effh}$  عرض مؤثر المان افقی،  $b_{effv}$  عرض مؤثر المان قائم و  $\theta$  زاویه المان مورب نسبت به افق است.

## ۲-۱-۱ مدل‌های رفتاری

با توجه به ایجاد نیروهای فشاری و کششی در المان‌های خربایی (شکل ۵) شبیه‌سازی دقیق رفتار المان‌ها تحت فشار و کشش، اهمیت بسیار زیادی دارند.

شکل ۵. به کارگیری المان‌های مورب (المان فشاری (STRUT) و المان کششی (TIE)) برای مدل‌سازی مناسب ترک‌های کششی قطری

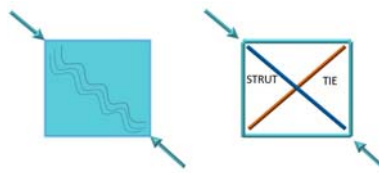


Fig. 5. Use of diagonal elements (compression element (STRUT)) and tensile element (TIE) for proper modeling of diagonal tensile cracks

## ۱-۲-۱ رفتار تک محوره فشاری

در دانشگاه توکیو مدل جامع الاستو-پلاستیک و شکست برای رفتار فشاری مطابق شکل (۶) توسعه یافت. بریمانی و همکاران چگونگی عملکرد و دقت مدل ذکر شده را برای بیان رفتار بنایی مورد ارزیابی و تایید قرار دادند [۳]. تنش فشاری ایجاد شده بر اساس مدول ارجاعی، پارامتر شکست و کرنش پلاستیک طبق رابطه ۵ قابل محاسبه است.

شکل ۶. مدل فشاری

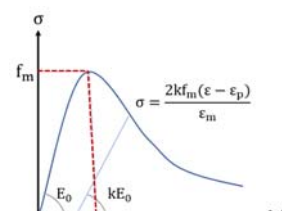


Fig. 6. Compressive behavior of masonry

$$\sigma = \frac{2kf_m(\epsilon - \epsilon_p)}{\epsilon_m} \quad (5)$$

شکل ۹. نمایش حذف المان مورب تحت کشش در مود خرابی شکست

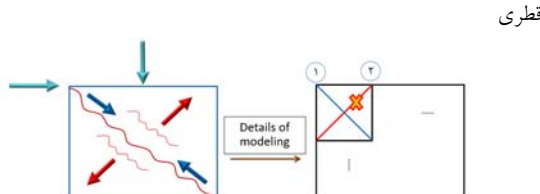


Fig. 9. Removal of a tensile element in a diagonal failure mode

مطابق استاندارد ASTM-E519، مقاومت کششی قطری یا مقاومت ترک خوردگی قطری دیوارها با انجام آزمایش روی پانل مربع شکل، تحت فشار قدری تعیین می شود [7]. در این حالت پانل بنایی به صورت قطری مطابق شکل (۱۰-الف) تحت بار فشاری قرار می گیرد. تحت تغییر شکل های کششی در راستای عمود بر امتداد بار، ترک هایی به صورت قطری ایجاد می شود.

شکل ۱۰. آزمایش تعیین مقاومت برشی: (الف) شکل ساخته شده در آزمایشگاه، (ب) مدل سازی صورت گرفته در نرم افزار TaRa با استفاده از المان های خربما

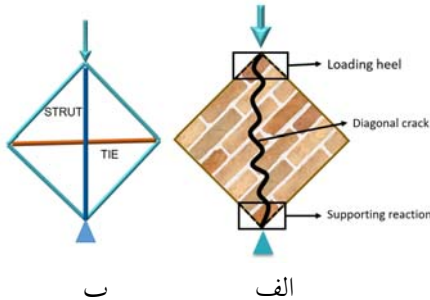
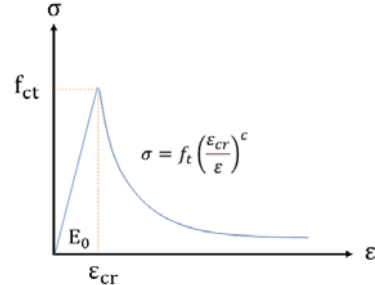


Fig. 10. Diagonal compression of masonry panels (a) experiment, (b) Truss model

در مدل خربپایی مطابق شکل ب، با افزایش نیروی اعمالی، المان قطری کششی ترک خورده و به تدریج قابلیت باربری خود را از دست می دهد بعد از آن کل بار توسط المان قطری فشاری تحمل می شود. در عمل مقاومت فشاری المان ترک خورده کمتر از نمونه ترک نخورده است. به منظور اعمال آثار ترک خوردگی بر رفتار فشاری المان قطری، یک رفتار نرم شونده وابسته به میزان عرض ترک در برنامه TaRa تعریف شد. ایده استفاده شده برگرفته از مدل های بتون در روش ترک پخشی است. در این مدل بعد از شناسایی جفت هر المان قطری، به محض رخداد ترک در

شکل ۸. رابطه تنش-کرنش کششی بنایی

Fig. 8. Tensile behavior of masonry  
 $\sigma = f_t \left( \frac{\varepsilon_{cr}}{\varepsilon} \right)^c$  (۸)

در این رابطه  $c$  شیب منحنی پس از ترک خوردگی را بیان می کند که وابسته به انرژی شکست بنایی است و در مدل های عددی وابسته به ابعاد المان است.  $f_t$  مقاومت کششی و  $\varepsilon_{cr}$  کرنش معادل ترک خوردگی است.

### ۱-۱-۳ شبیه سازی مودهای خرابی

در مدل خربپایی پیشنهادی انتظار می رود با انتخاب ابعاد مناسب برای المان های افقی، قائم و قطری بتوان رفتار رفتار خمشی و برشی دیوارهای بنایی را به خوبی مدل سازی کرد. در این بند سعی بر آن است که توانایی مدل پیشنهادی در تخمین ظرفیت و مود خرابی دیوارهای بنایی سنجیده شود. لازم به ذکر است با توجه به محدودیت در ارائه نتایج، در این مقاله تنها در هر مود خرابی نتایج حاصل از تحلیل ۲ دیوار بنایی در مقایسه با روابط آینه نامه ASCE41 [5] نشان داده می شود. اطلاعات کاملتر نتایج تحلیل و مقایسه برای بازه وسیعی از پارامترها در مرجع [6] قابل مطالعه است.

#### الف- مود خرابی کشش قطری

در نمونه های بنایی، برش معمولاً همراه مودهای خرابی دیگر اتفاق می افتد. ولی به صورت کلی اگر دیوار کوتاه باشد و مقاومت کششی پایینی داشته باشد، انتظار می رود ترک های قطری ایجاد شوند و در نمونه گسترش یابند (شکل ۹).

جدول ۲. مقایسه‌ی نتایج مقاومت نمونه‌ها در مود خربایی قطري و نتایج

#### تحلیلی نرم‌افزار TaRa

Number of specimen	Bed-Joint Sliding Strength (kN)	Bending strength (kN)		Diagonal Tension Strength (kN)	Max force in TaRa soft ware (kN)	Ratio of max analytical force to minimum resistive force of failure modes
		Rocking Strength	Toe-Crushing Strength			
Wall 1	17.19	5.2	5.37	3.25	3.42	1.05
Wall 2	21.56	15.61	16.11	9.75	10.2	1.049

Table 2. Comparison between numerical model and ASCE41 equation for diagonal failure mode.

#### ب- مود لغزش برشی ملات

عملأً در مود لغزش برشی ملات قسمتی از دیوار نسبت به قسمت دیگر می‌لغزد (شکل ۱۲). مطابق قانون تسلیم موهر-کولمب، در مود لغزش ملات ظرفیت دیوار وابسته به بار قائم اعمالی به دیوار است. در مدل خربایی، بار قائم تبدیل به نیروهای فشاری در المان‌ها می‌شود، با افزایش نیروهای فشاری، المان‌های کششی دیرتر ترک خورده و در نتیجه ظرفیت دیوار افزایش می‌یابد.

شکل ۱۲. نمایش تأثیر بار قائم در المان‌ها در مود خربایی لغزش برشی ملات

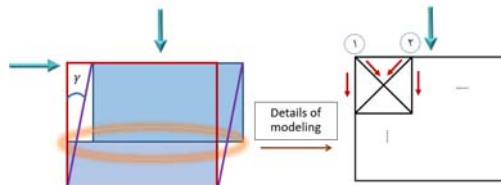


Fig. 12. The effect of vertical load on the shear sliding mode

معیار تسلیم موهر-کولمب در برش مطابق رابطه (۱۰) بیان

می‌شود.

$$\tau = C + \sigma \times \tan\varphi \quad (10)$$

که در این رابطه  $\tau$  تنش برشی،  $\sigma$  تنش عمود بر ملات و  $\varphi$  زاویه اصطکاک است. به طور کلی رفتار بنایی در برش مطابق شکل (۱۳) است. با افزایش تغییرشکل برشی، مقاومت چسبندگی (C) ملات کاهش می‌یابد. بنابراین  $C + \sigma \times \tan\varphi$  حداکثر برشی است که نمونه می‌تواند تحمل کند و با افزایش تغییرشکل این مقدار نهایتاً تا عدد  $\sigma \times \tan\varphi$  افت کرده و تقریباً ثابت می‌ماند.

یک المان قطری، رفتار المان قطری دیگر با ضرب مقادیر نیرو

در تابع  $k_{(\varepsilon_t)}$  مطابق رابطه (۹) اصلاح می‌شود:

$$k_{(\varepsilon_t)} = \left( \frac{\varepsilon_{cr}}{\varepsilon_t} \right)^0.8 \quad (9)$$

در این رابطه  $\varepsilon_t$  کرنش المان قطری کششی و  $\varepsilon_{cr}$  کرنش ترک خوردگی است. بنابراین با افزایش کرنش المان قطری کششی یا به عبارت دیگر عرض ترک خوردگی، مقاومت المان فشاری قطری کاهش می‌یابد.

به منظور بررسی عملکرد مدل پیشنهادی در تخمین مود خربایی شکست قطری، ۲ نمونه دیوار که مطابق با آیین نامه ASCE41 دارای مود خربایی قطری هستند با مشخصات جدول (۱) مورد تحلیل قرار گرفتند. نمای مدل‌های عددی در شکل (۱۱) نمایش داده و مقایسه‌ای بین نتایج نرم‌افزار TaRa و آیین-نامه مذکور در جدول (۲) ارائه شده است. نتایج نشان از دقت خوب مدل در پیشینی مود خربایی دیوار دارد.

#### جدول ۱. مشخصات کلی ۲ نمونه با مود خربایی شکست قطری

Number of specimen	Effecti ve length	Effective height	Ratio of Effective length to Effective height	Effecti ve thickness	Axial compressive stress	Lower-Bound compressive strength	Lower-Bound tensile strength	coeffici ent
	L (cm)	h <sub>eff</sub> (cm)						
Wall1	1000	1000	1	100	98.1	196.3	9.8	0.5
Wall2	1000	1000	1	300	98.1	196.3	9.8	0.5

Table 1. General specifications of two samples with diagonal failure mode

#### شکل ۱۱. نمونه‌های با مود خربایی شکست قطری

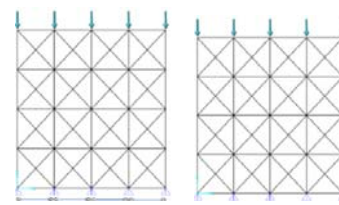
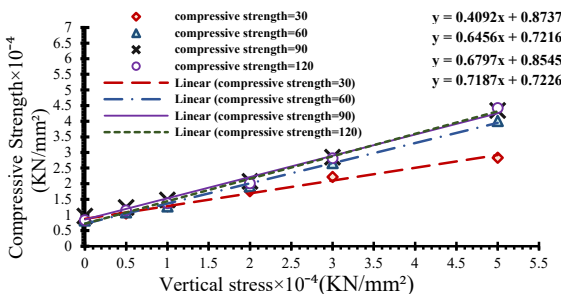
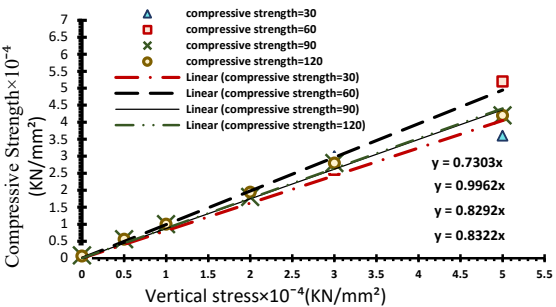


Fig. 11. Samples with diagonal failure mode

شکل ۱۵. تأثیر مقاومت فشاری بنایی قبل از زوال چسبندگی با ( $c=0.8/\alpha$ )Fig. 15. Effect of compressive strength of masonry before deterioration of adhesion strength ( $c = 0.8$ )شکل ۱۶. تأثیر مقاومت فشاری بنایی بعد از زوال چسبندگی با ( $c=0.8/\alpha$ )Fig. 16. Effect of compressive strength of masonry after deterioration of adhesion strength ( $c = 0.8$ )

اگر چه در مدل پیشنهادی، زاویه اصطکاک به عنوان پارامتر اصلی ورودی تعریف نمی‌شود ولی نتایج نشان می‌دهند که بر اساس مقاومت فشاری بنایی، می‌توان زاویه اصطکاک معادلی برای بنایی انتظار داشت. در نمونه‌های بررسی شده، در صورتی که زوال چسبندگی بعد از رسیدن به ظرفیت نهایی، شدید منظور شود ( $C=0.8/\alpha$ ) زاویه اصطکاک معادل برای مقاومت فشاری  $30^{\circ}$  تا  $120^{\circ}$  بین  $22^{\circ}$  تا  $36^{\circ}$  درجه قبل از زوال چسبندگی و حدود  $36^{\circ}$  تا  $45^{\circ}$  درجه بعد از زوال چسبندگی است که معرف رنج معقولی از زاویه اصطکاک مصالح بنایی است. در صورتی که ضربیت زوال چسبندگی برابر  $40^{\circ}$  منظور شود، زاویه اصطکاک حدود  $20^{\circ}$  درصد افزایش می‌یابد.

به منظور بررسی دقیق مدل پیشنهادی در تخمین مود خرابی لغزش ملات، ۲ نمونه با مشخصات بیان شده در جدول (۳) در نظر گرفته شد. مود حاکم در این نمونه‌ها مطابق آیین‌نامه ASCE41-17 مود خرابی لغزش ملات می‌باشد. مدل‌سازی

شکل ۱۳. نمودار تغییرمکان-تنش برشی در دیوارهای کوتاه بنایی

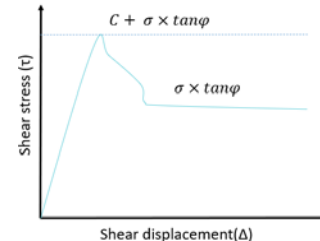


Fig. 13. Load-displacement for short masonry walls in shear sliding failure mode

برای بررسی این رفتار و به منظور اطمینان از عدم رخداد همزمان دیگر مودهای رفتاری، یک مدل سازه‌ای با نسبت ارتفاع به طول خیلی کم مطابق شکل (۱۴) انتخاب شد. نمونه انتخاب شده دارای طولی برابر  $500$  و ارتفاعی معادل  $50$  سانتی‌متر است.

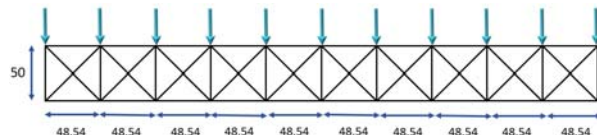
شکل ۱۴. نمونه انتخابی برای بررسی مود لغزش ملات  $f_c$ 

Fig. 14. Sample model to investigate the slip mode of mortar

نتایج مطالعه پارامتریک نشان داد که ظرفیت و رفتار این نمونه متأثر از مقاومت کششی و فشاری المان‌های مورب است. به گونه‌ای که مقاومت کششی مرتبط با چسبندگی در مدل موهرب-کلمب و مقاومت فشاری موثر بر زاویه اصطکاک است. به عنوان نمونه رفتار دیوار انتخابی با فرض مقاومت فشاری بنایی برابر با  $30^{\circ}$ ,  $60^{\circ}$ ,  $90^{\circ}$  و  $120^{\circ}$  کیلوگرم بر سانتی‌متر مریع و تحت ۶ تنش فشاری قائم مختلف بررسی شده است. در اشکال (۱۵ و ۱۶)، محور افقی تنش فشاری اعمالی به نمونه و محور قائم حداکثر تنش برشی حاصل از نتایج تحلیلی نرم‌افزار است.

جدول ۴. مقایسه نتایج مقاومت نمونه‌ها در مودهای خرابی مختلف و نتایج

Number of specimen	تحلیلی نرم‌افزار TaRa					
	Bending strength (kN)		Diagonal Tension Strength (kN)	Max force in TaRa software (kN)	Ratio of max analytical force to minimum resistive force of failure modes	
	Rocking Strength	Toe-Crushing Strength				
Wall 1	15.68	19.05	20.85	18.59	13.89	0.87
Wall 2	78.4	118.54	117.6	83.15	65.67	0.82

Table 4. Comparison between numerical model and ASCE41 equation for diagonal failure mode.

### پ- مود خرابی خمی

مود خمی شامل دو مود خرابی گهواره‌ای<sup>۱</sup> و فشار در پنجه<sup>۲</sup> است. اصولاً دو مود خرابی گهواره‌ای و فشار در پنجه دو مود خرابی جدا نیستند. مطابق شکل (۱۹) تا زمانی که دیوار بلند نشده باشد، تحت نیروی جانبی و به صورت خطی افزایش می‌یابد. بعد از مدتی دیوار شروع به بلند شدن کرده و گوش پایین سمت دیگر دیوار به دلیل فشار وارد شده، خرد می‌شود و سختی دیوار به شدت کاهش می‌یابد.

ظرفیت مود گهواره‌ای را طبق رابطه (۱۱) و بر اساس تعادل واژگونی می‌توان محاسبه نمود. در این رابطه فرض بر این است که مقاومت ملات تحت کشش صفر است، اما در واقعیت از مقاومت کششی ملات در مدل خرپا صرف نظر نمی‌شود.

شکل ۱۹. بارگذاری دیوار و خرابی خمی

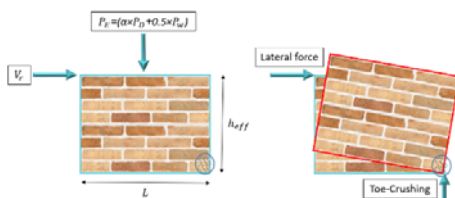


Fig. 19. Masonry wall in rocking mode

$$V_r = 0.9(\alpha P_D + 0.5 P_w) \left( \frac{L}{h_{eff}} \right) \quad (11)$$

ضریب  $\alpha$  برای دیوار طره برابر  $0/5$  و برای دیواری که دوران در بالا و پایین آن بسته باشد برابر ۱ است. همان‌گونه که بیان شد مدل خرابی از کنار هم قرار گرفتن تعدادی المان قائم، مورب و افقی تشکیل می‌شود. مطابق شکل (۲۰) زمانی که دیوار تحت بار جانبی قرار می‌گیرد المان‌های قائم به کشش افتاده و ترک

صورت گرفته هر یک از نمونه‌ها در نرم‌افزار TaRa در شکل (۱۷) ارائه شده است.

جدول ۳. مشخصات کلی ۲ نمونه با مود لغزش برشی ملات

Number of specimen	Effecti ve length	Effective height	Ratio of Effective length to Effective height	Effecti ve thickness	Axial compre ssive stress	Lower-Bound compres sive strength	Lower-Bound tensile strength	coeffici ent
	L (cm)	h <sub>eff</sub> (cm)	$\frac{L}{h_{eff}}$	t (cm)	$\sigma$ ( $\frac{kN}{cm^2}$ )	$f_c$ ( $\frac{kN}{cm^2}$ )	$f_{gt}$ ( $\frac{kN}{cm^2}$ )	
Wall1	3000	1000	3	100	29.4	196.3	49	0.5
Wall2	4000	1000	4	100	147.1	196.3	147.1	0.5

Table 3. General specifications of two samples with shear sliding failure mode

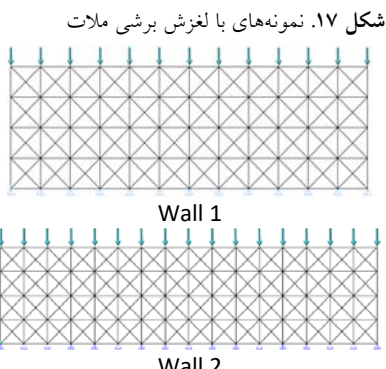


Fig. 17. Samples with shear sliding failure mode

نمودار نیرو-جایه‌جایی حاصل از تحلیل در شکل (۱۸) ارائه شده است. همچنین مقایسه‌ای بین نتایج نرم‌افزار TaRa و آینه-نامه مذکور در جدول (۴) ارائه شده است.

شکل ۱۸. نمودار نیروی جانبی-تغییر مکان مود خرابی لغزش برشی ملات

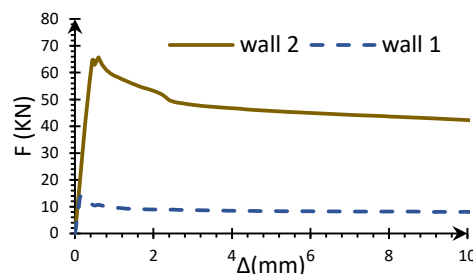


Fig. 18. Lateral force-displacement of sample walls with shear-sliding failure mode

شکل ۲۲. (الف) دستک فشاری در بنایی غیر مسلح، (ب) عرض معادل در بنایی محصور شده

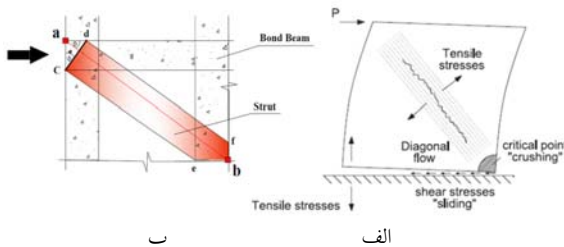


Fig. 22. (a) Compression strut in an unreinforced masonry, (b) compression strut in a confined masonry

در مدل پیشنهادی دستک‌های فشاری می‌توانند با رفتار فشاری خود انتقال بار از محل بارگذاری تا پنجه دیوار را شبیه‌سازی نمایند (شکل ۲۳). به منظور تامین عرض حداقل دستک فشاری در ناحیه پنجه دیوار، عرض المان خرپایی در این ناحیه نباید کمتر از عرض مورد نیاز بر اساس ضخامت ناحیه گره اتصال دیوار به شالوده یا تیر بارگذاری منظور شود. اگر عرض تیر بارگذاری برابر با  $b/\cos(\phi)$  باشد. عرض این ناحیه برابر با  $b/\cos(\phi)$  می‌باشد که در آن  $\phi$  زاویه المان دستک با افق است.

شکل ۲۳. مسیر انتقال نیروهای قائم و افقی در دیوار بنایی

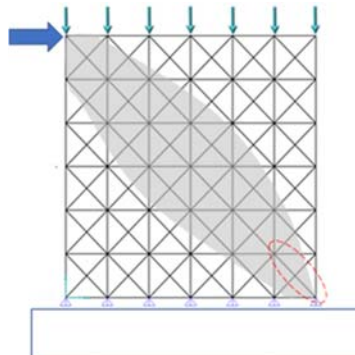


Fig. 23. Transmission of vertical and lateral loads

به منظور بررسی عملکرد مدل پیشنهادی در تخمین مود خرابی شکست قطری، ۲ نمونه به طور دلخواه با مشخصات بیان شده در جدول (۵) در نظر گرفته شده است. نمودار نیرو-جابه-جایی تحت بارهای قائم و جانبی برای هر نمونه رسم شده و در نهایت با نتایج حاصل از روابط آینه‌نامه ASCE41 مقایسه شده است.

می‌خورند. بنابراین مقاومت المان‌های قائم یکی پس از دیگری به ترتیب از بین رفته و مقاومت کلی دیوار کاهش می‌یابد.

شکل ۲۰. ترتیب حذف المان‌های قائم از مدل خرپایی در مود خرابی

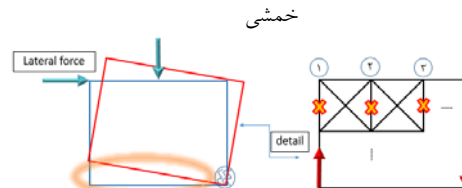


Fig. 20. Sequence of removal of vertical elements from the truss model in rocking failure mode

نتایج تحلیل در برنامه‌ی TaRa به صورت شماتیک مطابق شکل (۲۱) است. نواحی مشخص شده به صورت دایره در نمودار نشان می‌دهد که المان‌های قائم به ترتیب به کشش افتاده و ظرفیت دیوار گام به گام کاهش یافته تا در ناحیه‌ای نیرو ثابت شود. با توجه به این‌که نمونه‌ها تحت بار یکنوا قرار گرفته‌اند و آینه‌نامه ASCE41 رفتار چرخه‌ای را بررسی می‌کند، به منظور بررسی نتایج از ناحیه بالای خطچین صرف نظر می‌شود. مشخصات بار-تغییرمکان در این ناحیه، وابسته به رفتار کششی المان‌های قائم و انرژی شکست است.

شکل ۲۱. نمودار کلی نیرو-تغییرمکان با در نظر گرفتن حذف المان‌های قائم در اثر کشش

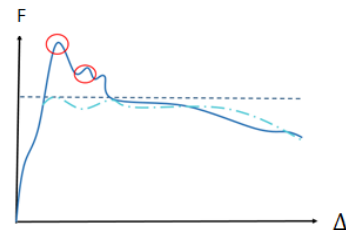


Fig. 21. General force-displacement diagram considering the elimination of vertical elements due to traction.

مدل‌سازی رفتار بنایی با استفاده از دستک‌های فشاری مورد توجه پژوهشگران دیگر نیز بوده است [۸]. در نمونه‌های محصور شده با کلاف، عرض تیر بارگذاری برای تعیین عرض حداقل دستک فشاری مورد استفاده قرار می‌گیرد (شکل ۲۲). در نمونه‌های آزمایشگاهی که بارگذاری از طریق تیر بارگذاری صورت می‌گیرد این تیر می‌تواند در تعیین حداقل عرض دستک فشاری در پنجه دیوار مورد استفاده قرار گیرد.

### ۳- مقایسه با نتایج آزمایشگاهی

به منظور درستی آزمایی مدل توسعه یافته، چند نمونه بنایی که توسط دیگر پژوهشگران مورد آزمایش قرار گرفته انتخاب شده و پس از مدلسازی و تحلیل، نتایج حاصل با نتایج آزمایشگاهی مورد مقایسه قرار می گیرند. نمونه های انتخابی از نوع بنایی غیر مسلح بوده و تحت بارهای داخل صفحه قرار گرفته اند.

#### ۳-۱- درستی آزمایی نمونه دیوارهایی با مقطع مستطیلی

آبرامز<sup>۱</sup> و همکاران سه نمونه دیوار بنایی را در آزمایشگاه مهندسی عمران نیویورک تحت بار جانبی مورد آزمایش قرار دادند. این آزمایش ها با هدف تعیین رفتار برخی دیوارهای بنایی، روی سه دیوار بنایی با نسبت ابعادی مختلف انجام شده است. مطابق شکل (۲۶) بار قائم محوری در بالای دیوار به صورت ثابت و یکنواخت قرار گرفته و نیروی جانبی به تیر بتی واقع روی دیوار به تدریج اعمال شده است. مشخصات مصالح این دیوارها به صورت خلاصه در جدول (۷) بیان شده است [۹].

شکل ۲۶. چگونگی بارگذاری دیوارها

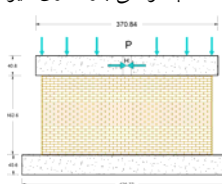


Fig. 26. Loading

جدول ۷. مشخصات سه نمونه دیوار آزمایش شده توسط آبرامز و همکاران

Number of specimen	adhesi on	Axial compress ive stress	Effective thickness	Effecti ve length	Effecti ve height	Lower-Bound compres sive strength	Lower-Bound tensile strength	coeffici ent
Wall1	7.1	5.3	19.8	366	182.9	62.8	7.1	0.5
Wall2	7.1	3.5	19.8	274.2	182.9	62.8	7.1	0.5
Wall3	7.1	3.5	19.8	182.9	182.9	62.8	7.1	0.5

Table 7. Masonry walls tested by Abrams et al

#### جدول ۵. مشخصات کلی ۲ نمونه با مود خرابی خمشی

Number of specimen	Effecti ve length	Effective height	Ratio of Effective length to Effective height	Effecti ve thickness	Axial compr essive stress	Lower-Bound compres sive strength	Lower-Bound tensile strength	coeffici ent
Wall1	1000	3000	0.3	100	29.4	196.3	98.1	0.5
Wall2	1000	1000	1	100	49	196.3	49	0.5

Table 5. General specifications of two samples with flexural failure mode

شکل ۲۴. نمونه های با مود خرابی خمشی

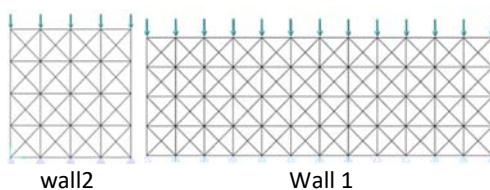


Fig. 24. Samples with flexural failure mode

مدل سازی نمونه ها مطابق شکل (۲۴) در نرم افزار TaRa صورت گرفت. نمودار نیرو-جهابه جایی در شکل (۲۵) و مقایسه بین نتایج نرم افزار TaRa و آینه نامه و نشریه مذکور در جدول (۶) صورت پذیرفته است.

شکل ۲۵. نمودار نیروی جانبی-تغییر مکان مود خرابی خمشی: نمونه های

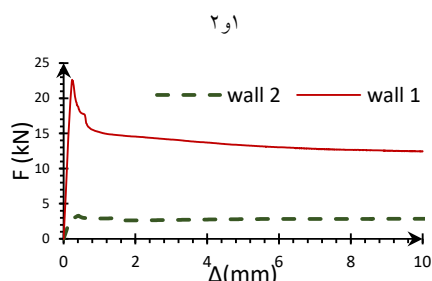


Fig. 25. Lateral force-displacement of sample walls with flexural failure mode

جدول ۶. مقایسه نتایج مقاومت نمونه ها در مودهای خرابی مختلف و نتایج تحلیلی نرم افزار TaRa

Number of specimen	Bed-Joint Sliding Strength (kN)	Bending strength (kN)		Diagonal Tension Strength (kN)	Max force in TaRa software (kN)	Ratio of max analytical force to minimum resistive force of failure modes
		Rocking Strength	Toe-Crushing Strength			
Wall 1	25.48	19.05	20.71	100.57	13.82	0.72
Wall 2	6.53	3.00	3.21	6.93	2.86	0.93

Table 6. Comparison between numerical model and ASCE41 equation for flexural failure mode.

شکل ۲۷. مقایسه نمودار نیرو-جایه جایی (الف) نمونه ۱، (ب) نمونه ۲، (پ) نمونه ۳

از دو دال بتنی در بالا و پایین دیوار نیز استفاده شده است. بارگذاری قائم و جانبی روی صفحه بتنی بالایی به شکلی است که در آزمایش اول بار یکنواخت قائم  $415\text{kN} \approx 4230.4\text{kgf}$  و در آزمایش دوم بار یکنواخت قائم  $1287\text{kN} \approx 13119.3\text{kgf}$  تدریج و به صورت تغییر مکان افقی اعمال می شود [10].

شکل ۲۸. هندسه سه بعدی

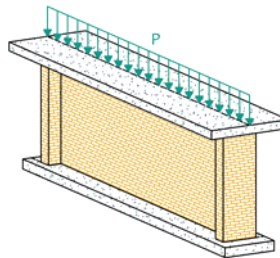


Fig. 28. Three-dimensional geometry

نمودار نیروی جانبی - تغییر مکان به دست آمده از تحلیل عددی در مقایسه با نتایج آزمایشگاهی برای هر یک از نمونه ها در شکل (۲۹) رایه شده است. همانطور که دیده می شود نتایج حاصل از مدل های پیشنهادی و تحلیل با نرم افزار TaRa، رفتار غیر خطی دیوارها را با دقت قابل قبولی نمایش می دهد.

شکل ۲۹. مقایسه نمودار نیرو-جایه جایی آزمایشگاهی و تحلیلی نمونه دیوار محصور شده با دو لبه انتهایی

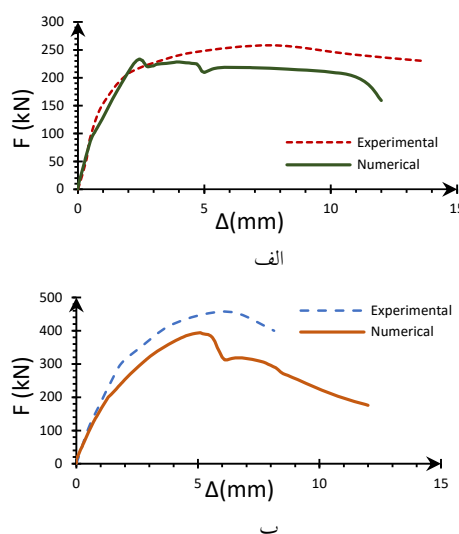


Fig. 29. Comparison between numerical and experimental results

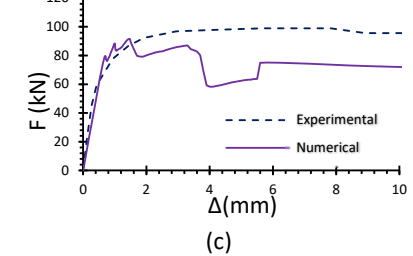
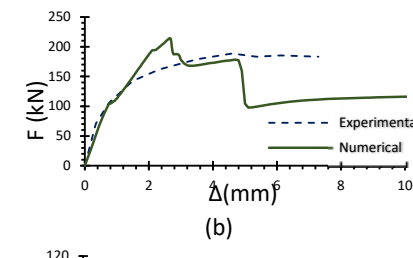
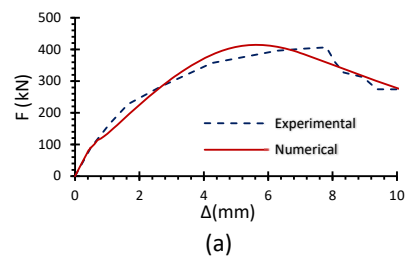


Fig. 27. Comparison between numerical and experimental results (a) wall 1, (b) wall 2, (c) wall 3

پس از تعیین ابعاد کلی مدل، دیوار با استفاده از مجموعه المان های خرپایی با عرض مؤثر مطابق روابط پیشنهادی مدل شده است. با مقایسه نتایج حاصل از تحلیل با نرم افزار TaRa و نتایج آزمایشگاهی مطابق شکل (۲۷) می توان نتیجه گرفت، نرم افزار رفتار کلی دیوار را به خوبی نمایش می دهد.

### ۲-۳- دیوار محصور شده توسط دو لبه

در سال ۱۹۸۴ گنز و تورلیمان<sup>۱</sup> در دانشگاه زوریخ آلمان نمونه دیوار بنایی مطابق شکل (۲۸) با ابعاد بزرگ مقیاس به ارتفاع  $150\text{mm}$ ، طول  $3300\text{mm}$  و ضخامت  $200\text{mm}$  به گونه ای که دو انتهای دیوار دو لبه بنایی به عرض  $600\text{mm}$  و ضخامت  $150\text{mm}$  دارد، مورد آزمایش قرار دادند. پس از بررسی انجام شده مشاهده شد که وجود این لبه ها در دو انتهای دیوار منجر به افزایش سختی جانبی و مقاومت دیوار می شود. در این آزمایش

شکل ۳۲ نمودار نیرو-تغییرمکان بر اساس نتایج تحلیلی و آزمایشگاهی

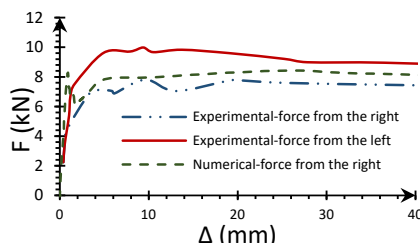


Fig. 32. Comparison between numerical and experimental results

### ۳-۳ قوس بنایی

در مطالعه آزمایشگاهی توسط محمدی رفتار یک قوس پنج و هفت تند که از قوس‌های پرکاربرد در ایران می‌باشد مشابه شکل (۳۰) مورد بررسی قرار گرفت [11].

شکل ۳۰. (الف) هندسه سه بعدی از یک مدل دو بعدی نمونه‌ی قوسی با در نظر گرفتن ضخامت مدل و (ب) ابعاد نمونه‌ی قوسی

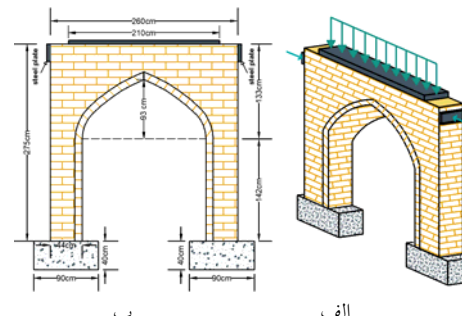


Fig. 30. Arch specimen (a) Three-dimensional geometry (b) dimensions

مشخصات مصالح بنایی استفاده شده به صورت خلاصه در جدول (۸) بیان شده است.

جدول ۸ مشخصات مصالح بنایی در نمونه‌ی قوسی

Compressive strength $\frac{kgf}{cm^2}$	Tensile strength $\frac{kgf}{cm^2}$	YOUNG MODULUS $\frac{kgf}{cm^2}$	Maximum strain
47.71	1.33	9000	0.005

Table 8. Material properties of arch sample

نمای مدل عددی در شکل (۳۱) و مقایسه نمودار نیروی جانبی-تغییرمکان بدست آمده از تحلیل عددی با نتایج آزمایشگاهی در شکل (۳۲) ارائه شده است. همانطور که دیده می‌شود نتایج حاصل از تحلیل هماهنگی مناسبی با نتیجه آزمایشگاهی دارد.

شکل ۳۱. نمای مدل عددی

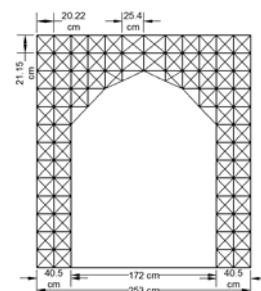


Fig. 31. Numerical model

- ## ۴- نتایج
- در این تحقیق یک مدل بزرگ مقیاس خربایی برای شبیه‌سازی رفتار درون صفحه دیوارهای بنایی معرفی شد و روابط مربوط به تعیین ابعاد و همچنین رفتار کشش و فشار این المان‌های خربایی با توجه به سازوکار رفتاری و مودهای خرابی ارائه شد. تاثیرپذیری رفتار اعضاء قطعی فشاری قطعی بنایی و همچنین چگونگی تعیین عرض دستک فشاری در ناحیه تکیه‌گاهی و بارگذاری و بازه تغییرات زاویه اصطکاک بنایی وایسته به مقاومت فشاری مورد بحث و بررسی قرار گرفت. مقایسه نتایج تحلیل با ظرفیت حاصل از روابط آینه‌نامه‌ای و همچنین نتایج آزمایشگاهی نشان داد که مدل پیشنهادی در عین سادگی، دقت قابل قبولی در تخمین مقاومت و رفتار دیوارهای بنایی دارد.
- ## ۵- مراجع
- [1] Lu, Y., Panagiotou, M. and Koutromanos, I., 2014. Three-dimensional beam-truss model for reinforced-concrete walls and slabs subjected to cyclic static or dynamic loading (PEER Report No 18).
  - [2] Aghababaii M., 1396. A macro-model for seismic analysis of shear walls using fiber and truss elements. Faculty of Civil Engineering and Environment, Tarbiat Modares University. (In Persian)
  - [3] Barimani A.H., Soltani Mohammadi M., Tasnimi A., 1389. Modeling and nonlinear analysis of material elements of building by fixed smeared crack method. Scientific Research Journal of Omran Modares, vol. 10, pp. 3-18. (In Persian)
  - [4] Maekawa, K., Okamura, H., Pimanmas, A., 2003. Non-linear mechanics of reinforced concrete. CRC Press.

- University.
- [9] Abrams, D.P. and Shah, N., 1992. Cyclic load testing of unreinforced masonry walls. Illinois Univ. at Urbana Advanced Construction Technology Center
- [10] Lourenco, P.B. and Rots, J.G., 1997. A solution for the macro-modelling of masonry structures. In Proceedings of the 11th International Brick/Block Masonry Conference (pp. 1239-1249). Tongji University Shanghai, China.
- [11] Mohammadi, E., 1394. Seismic vulnerability assessment of masonry arches in historical structures. Master Thesis, Faculty of Civil Engineering and Environment, Tarbiat Modares University. (In Persian)
- [5] ASCE-41, 2017, December. Seismic evaluation and retrofit of existing buildings. American Society of Civil Engineers.
- [6] Mohebbi Amir Hoseini, A., 1400. A macro-model for seismic analysis of masonry structures using fiber and truss elements. . Master Thesis, Faculty of Civil Engineering and Environment, Tarbiat Modares University. (In Persian)
- [7] Sathiparan, N. and Meguro, K., 2013. Shear and flexural bending strength of masonry wall retrofitted using PP-band mesh. Constructii, 14(1), p.3.
- [8] Buxton, J.R., 2017. Strut-and-Tie Modeling of Multistory, Partially-Grouted, Concrete Masonry Shear Walls with Openings. Brigham Young

# A truss element based model for nonlinear analysis of masonry walls

Atiyeh Mohebbi Amir Hoseini<sup>1</sup>, Masoud Soltani Mohammadi<sup>2</sup>

1- MSc, Structural Engineering, Tarbiat Modares University

2- Professor, Faculty of Civil and Environmental Engineering, Tarbiat Modares University

[msoltani@modares.ac.ir](mailto:msoltani@modares.ac.ir)

## Abstract

In this research, a truss model is introduced to simulate the in-plane behavior of masonry walls in different failure modes. In the proposed model, the structural members are divided into smaller two-dimensional panels and then a truss system is used to model each panel. The geometry, dimensions and behavioral model of these truss elements are introduced according to the behavior mechanism and failure modes of the masonry walls. It is shown that the masonry walls can be well modeled by choosing the appropriate dimensions for the horizontal, vertical and diagonal elements and also using the appropriate material models.

The dimensions of the truss members are determined in such a way that the stiffness of the truss model is the same as the stiffness of the initial panel, under different loading conditions. In this regard, the computational method introduced by Aghababaei is used. The elasto-plastic-fracture model developed at the University of Tokyo is applied for compressive behavior of elements. Barimani et al. evaluated and verified the accuracy of this model. Also for tensile and post cracking behavior of masonry, the tension softening model of Maekawa et al. is used.

The proposed model is implemented in the nonlinear finite element software, TaRa, developed at Tarbiat Modares University. In addition to the ability to model the reinforced concrete frame systems under monotonic, cyclic and dynamic loads, this software is capable of modeling the behavior of structures in large deformations, progressive failure and elements removal. The capability, accuracy and validity of the program in simulating the structural behavior of reinforced concrete have been shown in previous researches. In this research, this software is used to develop the proposed truss-based method for modeling the in-plane behavior of masonry structures.

In order to apply the effects of cracking on the compressive behavior of diagonal elements, a softening model dependent on the crack width is introduced. The idea used is generally based on the smeared track approach. In this model, after identifying the pair of each diagonal element and as soon as a crack occurs in one diagonal element, by multiplying the force values in a proposed function, the behavior of the other diagonal element is modified. Although in the proposed model, the friction angle is not defined as the main input parameter, but the results show that based on the compressive strength of the masonry, an equivalent friction angle can be expected for the masonry. The results of the parametric study in shear sliding mode showed that the capacity and behavior of these samples are affected by the tensile and compressive strength of diagonal elements. In such a way that the tensile strength is related to adhesion in the Mohr-Coulomb model and the compressive strength is effective on the friction angle.

Analytical results are evaluated based on ASCE41 code in different failure modes. Also, for verification, two I-shaped masonry walls, three masonry walls with rectangular cross-section and an arched walls are numerically analyzed using the proposed model and the results of numerical and experimental tests are compared. The results show that the proposed model, while simple, has a good ability to estimate the nonlinear behavior of masonry wall.

**Keywords:** masonry wall, nonlinear, in-plane behavior, numerical modeling, macro-model

